ในการทำการวิจัยเรื่องแหล่งจ่ายไฟร่วมโดยเซลล์เชื้อเพลิง โซล่าเซลล์ กังหันลมและ แบตเตอร์รี่ มีขั้นตอนการดำเนินงานทั้งหมด 2 ขั้นตอน ดังนี้

2.1 โรงไฟฟ้าพลังงานทดแทน

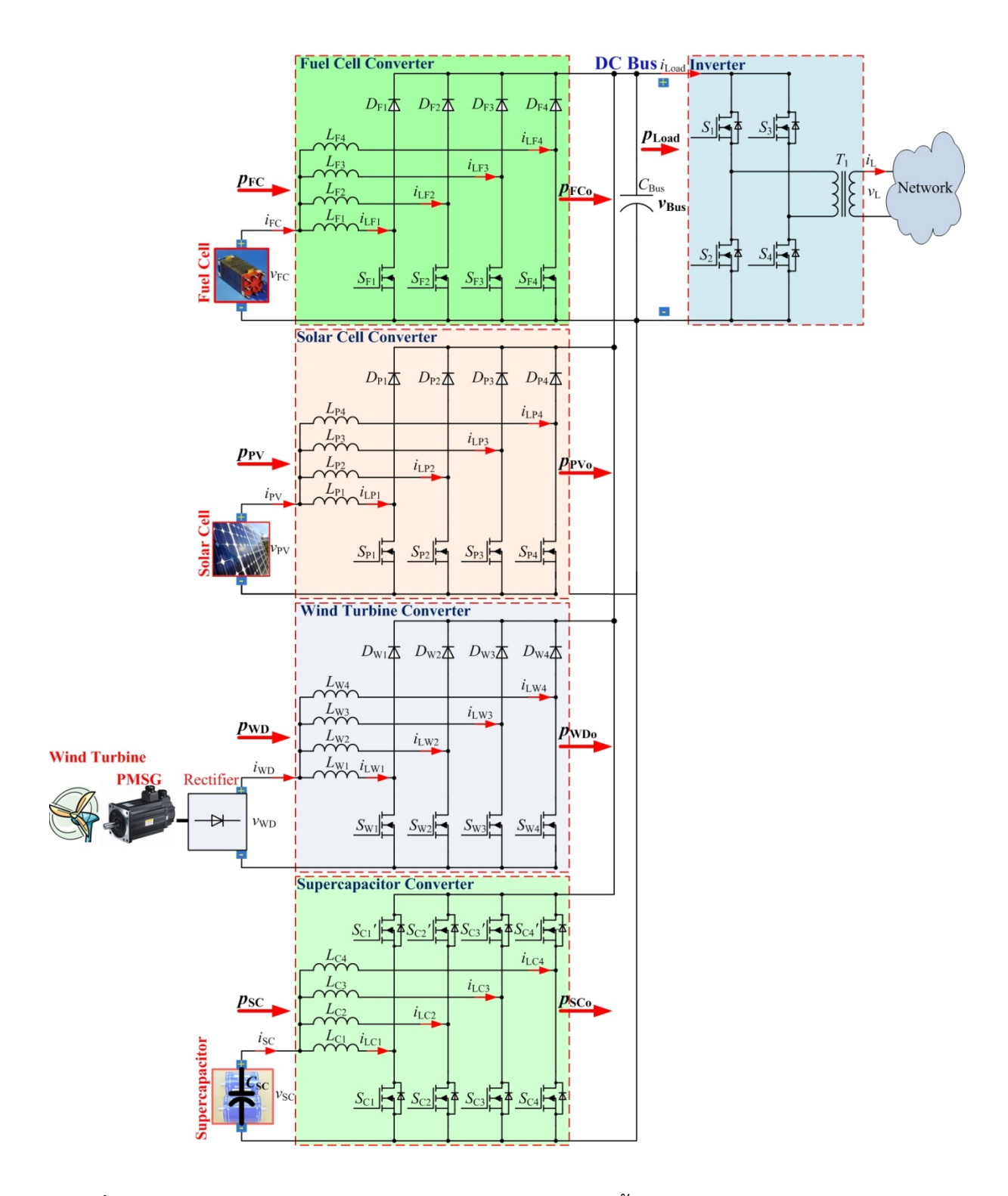
2.2 การบริหารจัดการพลังงานในโรงไฟฟ้า

2.1 โรงไฟฟ้าพลังงานทดแทน

2.1.1 วงจรกำลัง

โครงสร้างการต่อวงจรกำลังของแหล่งจ่ายไฟแบบผสมนี้แสดงได้ดังภาพที่ 2-1 ตัวแปลงไฟ สำหรับเซลล์เชื้อเพลิง (Fuel cell converter) คือวงจรบูสที่ขนานกัน 4 ชุด [21] ตัวแปลงไฟ สำหรับเซลล์แสงอาทิตย์ (Solar cell converter) คือวงจรบูสที่ขนานกัน 4 ชุด กังหันลมต่อเข้ากับ เครื่องกำเนิดไฟฟ้ากระแสสลับ 3 เฟส ไฟ 3 เฟสต่อเข้ากับวงจรเรียงกระแสแล้วต่อกับวงจรบูสที่ ขนานกัน 4 ชุด (Wind turbine converter) ตัวแปลงไฟสำหรับซุปเปอร์คาปาซิเตอร์ (Supercapacitor converter) คือวงจรแปลงไฟแบบ 2 ทิศทาง (2-Quadrant Converter) ที่ ขนานกัน 4 ชุด

ซึ่ง p_{Load} (= $v_{\text{Bus}} \times i_{\text{Load}}$), v_{Bus} , และ i_{Load} คือกำลังของโหลด แรงดันที่บัสไฟตรงและกระแสที่บัส ไฟตรง ตามลำดับ p_{FC} (= $v_{\text{FC}} \times i_{\text{FC}}$), v_{FC} และ i_{FC} คือกำลัง แรงดันและกระแสของเซลล์ เชื้อเพลิง ตามลำดับ p_{PV} (= $v_{\text{PV}} \times i_{\text{PV}}$), v_{PV} และ i_{PV} คือกำลัง แรงดันและกระแสของเซลล์ แสงอาทิตย์ตามลำดับ p_{WD} (= $v_{\text{WD}} \times i_{\text{WD}}$), v_{WD} และ i_{WD} คือกำลัง แรงดันและกระแสของกังหัน ลมที่ออกจากวงจรเรียงกระแสตามลำดับ p_{SC} (= $v_{\text{SC}} \times i_{\text{SC}}$), v_{SC} , และ i_{SC} คือกำลัง แรงดันและ กระแสของซุปเปอร์คาปาซิเตอร์ ตามลำดับ p_{FCO} , p_{PVO} , p_{WDO} และ p_{SCO} คือกำลังเอาต์พุตที่ส่งไป ยังบัสไฟตรงของเซลล์เชื้อเพลิง เซลล์แสงอาทิตย์ กังหันลมและซุปเปอร์คาปาซิเตอร์ ตามลำดับ



ภาพที่ 2-1 ไดอะแกรมโรงไฟฟ้าพลังงานทดแทนโดยเซลล์เชื้อเพลิง โซล่าเซลล์ กังหันลมและ แบตเตอร์รี่

เพื่อเป็นการป้องกันและการทำงานที่มีความเร็วสูง ตัวแปลงไฟของเซลล์เชื้อเพลิง เซลล์ แสงอาทิตย์ กังหันลมและซุปเปอร์คาปาซิเตอร์จะถูกควบคุมด้วยวงปิดของการควบคุมกระแสของ แต่ละตัว เพื่อแน่ใจว่าระบบทำงานที่มีเสถียรภาพ (Stability) ความเร็วของวงปิดระบบควบคุม กระแสซึ่งเป็นระบบควบคุมวงในสุด (inner current regulation loops) จะต้องทำงานที่ ความเร็วสูงกว่าระบบควบคุมวงปิดของระบบคุมควบวงนอก (outer control loops) [22] ระบบ ควบคุมกระแสนี้จะรับคำสั่งอ้างอิง (References) สี่สัญญาณคือกระแสคำสั่งของซุปเปอร์คาปาซิ เตอร์ i_{SCREF} กระแสคำสั่งของเซลล์เชื้อเพลิง i_{FCREF} กระแสคำสั่งของเซลล์แสงอาทิตย์ i_{PVREF} และ กระแสคำสั่งของกังหันลม i_{WDREF} กระแสคำสั่งทั้งสี่นี้จะถูกกำเนิดมาจากตัวควบคุมบริหารจัด การพลังงานทั้งระบบ ซึ่งจะนำเสนอต่อไป

2.1.2 แบบจำลองทางคณิตศาสตร์ของแหล่งจ่ายไฟแบบผสม

เราพิจารณาให้กระแสของเซลล์เชื้อเพลิง กระแสของเซลล์แสงอาทิตย์ กระแสของกังหันลม และกระแสของซุปเปอร์คาปาซิเตอร์ทำงานตามกระแสคำสั่งอย่างรวดเร็ว ดังนั้น

$$i_{\text{FC}} = i_{\text{FCREF}} = \frac{p_{\text{FC}}}{v_{\text{FC}}} = \frac{p_{\text{FCREF}}}{v_{\text{FC}}}$$
 (2-1)

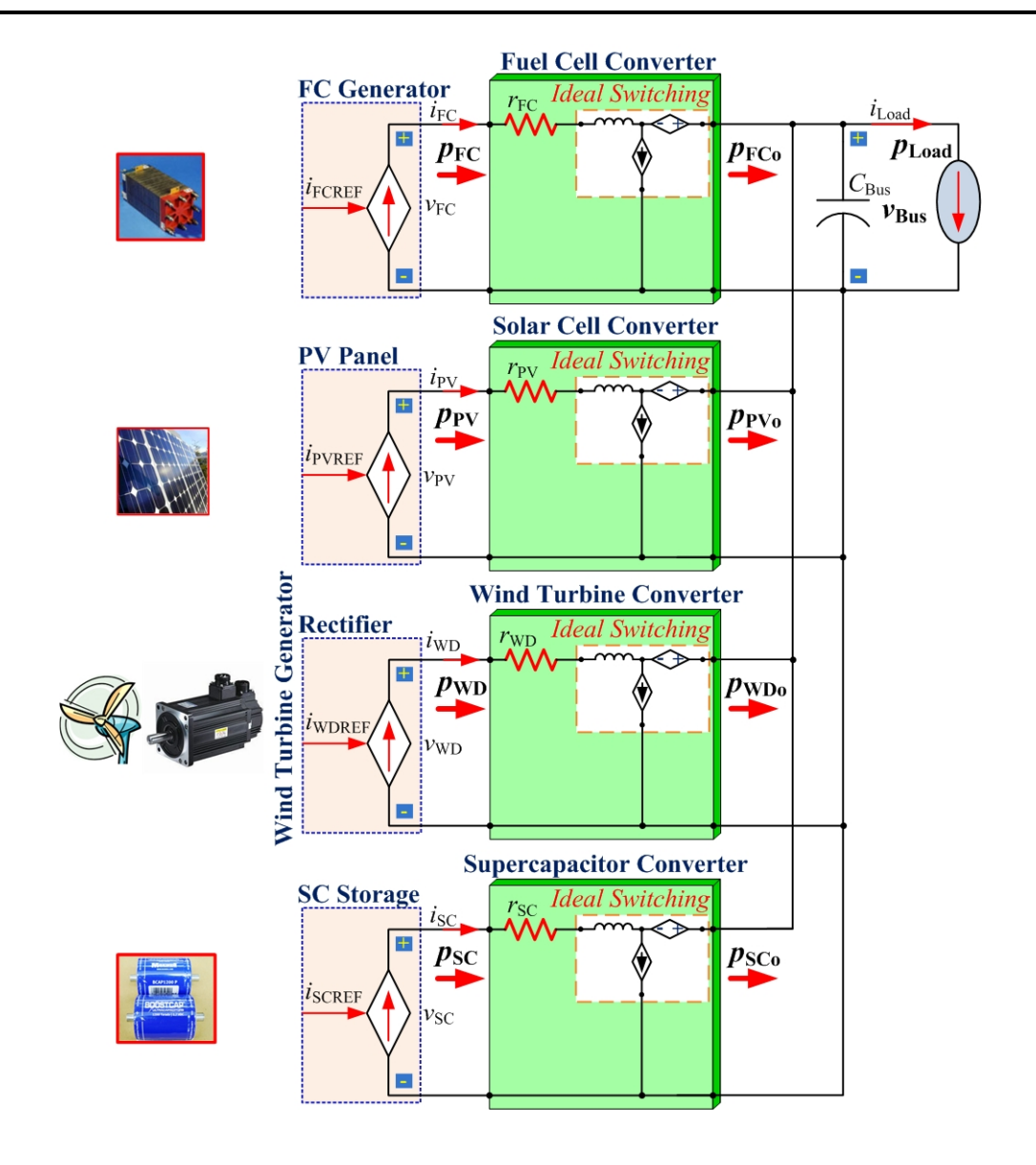
$$i_{\text{PV}} = i_{\text{PVREF}} = \frac{p_{\text{PV}}}{v_{\text{PV}}} = \frac{p_{\text{PVREF}}}{v_{\text{PV}}}$$
 (2-2)

$$i_{\text{WD}} = i_{\text{WDREF}} = \frac{p_{\text{WD}}}{v_{\text{WD}}} = \frac{p_{\text{WDREF}}}{v_{\text{WD}}}$$
 (2-3)

$$i_{\text{SC}} = i_{\text{SCREF}} = \frac{p_{\text{SC}}}{v_{\text{SC}}} = \frac{p_{\text{SCREF}}}{v_{\text{SC}}}$$
 (2-4)

เป็นผลทำให้กระแสของเซลล์เชื้อเพลิง เซลล์แสงอาทิตย์ กังหันลมและซุปเปอร์คาปาซิเตอร์ ทำงานเป็นแหล่งจ่ายกระแสที่ควบคุมได้ (Controlled current sources) แสดงได้ดังภาพที่ 2-2 เราพิจารณาให้มีค่าสูญเสียในตัวแปลงไฟแต่ละตัวเป็นตัวต้านทานที่มีค่าสูญเสียคงที่คือ $r_{\rm FC}$, $r_{\rm PV}$, $r_{\rm WD}$ และ $r_{\rm SC}$ ของตัวแปลงไฟของเซลล์เชื้อเพลิง ของตัวแปลงไฟของเซลล์แสงอาทิตย์ ของตัวแปลงไฟของกังหันลมและของตัวแปลงไฟของซุปเปอร์คาปาซิเตอร์ ตามลำดับ

พลังงานไฟฟ้าที่คาปาซิเตอร์ในบัสไฟตรง (E_{Bus}) และพลังงานไฟฟ้าที่ซุปเปอร์คาปาซิเตอร์ (E_{SC}) สามารถเขียนได้ดังนี้



ภาพที่ 2-2 วงจรเทียบเคียงของแหล่งจ่ายไฟแบบผสมที่นำเสนอ

$$E_{\text{Bus}} = \frac{1}{2} C_{\text{Bus}} v_{\text{Bus}}^2 \tag{2-5}$$

$$E_{\rm SC} = \frac{1}{2} C_{\rm SC} v_{\rm SC}^2 \tag{2-6}$$

ขณะที่พลังงานสะสมรวม ($E_{\rm T}$) ที่เก็บอยู่ในคาปาซิเตอร์ที่บัสไปตรง ($C_{\rm Bus}$) และในซุปเปอร์คา ปาซิเตอร์ ($C_{\rm SC}$) สามารถเขียนได้ดังนี้

$$E_{\rm T} = \frac{1}{2} C_{\rm Bus} v_{\rm Bus}^2 + \frac{1}{2} C_{\rm SC} v_{\rm SC}^2$$
 (2-7)

ดังแสดงในภาพที่ 2-2 สามารถเขียนเป็นสมการอนุพันธ์ของพลังงานไฟฟ้าที่คาปาซิเตอร์ใน บัสไฟตรง ($E_{
m Bus}$) กับ $p_{
m FCo}$, $p_{
m PVo}$, $p_{
m WDo}$, $p_{
m SCo}$, และ $p_{
m Load}$ ได้ดังนี้

$$\dot{E}_{\text{Bus}} = p_{\text{FCo}} + p_{\text{PVo}} + p_{\text{WDo}} + p_{\text{SCo}} - p_{\text{Load}}$$
 (2-8)

ซึ่ง

$$p_{\text{FCo}} = p_{\text{FC}} - r_{\text{FC}} \left(\frac{p_{\text{FC}}}{v_{\text{FC}}}\right)^2 \tag{2-9}$$

$$p_{\text{PVo}} = p_{\text{PV}} - r_{\text{PV}} \left(\frac{p_{\text{PV}}}{v_{\text{PV}}}\right)^2 \tag{2-10}$$

$$p_{\text{WDo}} = p_{\text{WD}} - r_{\text{WD}} \left(\frac{p_{\text{WD}}}{v_{\text{WD}}}\right)^2 \tag{2-11}$$

$$p_{SCo} = p_{SC} - r_{SC} \left(\frac{p_{SC}}{v_{SC}}\right)^2$$
 (2-12)

$$p_{\text{Load}} = v_{\text{Bus}} \cdot i_{\text{Load}} = \sqrt{\frac{2E_{\text{Bus}}}{C_{\text{Bus}}}} \cdot i_{\text{Load}}$$
 (2-13)

$$p_{\rm SC} = v_{\rm SC} \cdot i_{\rm SC} = \sqrt{\frac{2E_{\rm SC}}{C_{\rm SC}}} \cdot i_{\rm SC}$$
 (2-14)

2.2 การบริหารจัดการพลังงานในระบบจ่ายไฟฟ้าของโรงไฟฟ้าพลังงานทดแทน

2.2.1 พลังงานสมดุลย์

วัตถุประสงค์ของการควบคุมคือความมีเสถียรภาพ (stability) ความแข็งแรง (robustness) ประสิทธิภาพ (high overall efficiency) และการทำงานที่เหมาะสมที่สุด (optimization) เพื่อ จ่ายพลังงานให้กับโหลดและชาร์จซุปเปอร์คาปาซิเตอร์ ระบบควบคุมแบบหลายตัวแปรนี้จึงต้องมี คำสั่งอ้างอิงของแรงดันที่บัสไฟตรง (v_{BusREF}) (แทนพลังงานที่บัสไฟตรง (E_{Bus}) ที่เราเรียกว่า "การมี เสถียรภาพที่บัสไฟตรง DC link stabilization") และคำสั่งอ้างอิงของแรงดันที่ซุปเปอร์คาปาซิเตอร์ (v_{SCREF}) (แทนพลังงานที่ซุปเปอร์คาปาซิเตอร์ (E_{SC}) ที่เราเรียกว่า "supercapacitor state-of-charge SOC")

งานวิจัยนี้กำหนดให้เซลล์แสงอาทิตย์จะถูกควบคุมเป็นแหล่งจ่ายหลักที่หนึ่ง กังหันลมจะถูก ควบคุมเป็นแหล่งจ่ายหลักที่สอง เซลล์เชื้อเพลิงทำงานเป็นแหล่งจ่ายจ่ายไฟเมื่อพลังงานในสภาวะ อยู่ตัวไม่พอจากเซลล์แสงอาทิตย์และกังหันลม ขณะที่ซุปเปอร์คาปาซิเตอร์เป็นแหล่งพลังงานที่มี ความเร็วสูงมากๆ จะช่วยจ่ายไฟช่วงไดนามิกส์สูงๆ ดังนั้นหลักการบริหารจัดการพลังงานในระบบ คือให้ซุปเปอร์คาปาซิเตอร์จ่ายไฟเพื่อรักษาระดับแรงดันที่บัสไฟตรง ส่วนโซล่าเซลล์ กังหันและ เซลล์เชื้อเพลิง (เป็นเครื่องกำเนิดพลังงานที่ช้ากว่าซุปเปอร์คาปาซิเตอร์) ทำหน้าที่รักษาระดับ แรงดันที่บัสไฟตรงและที่ซุปเปอร์คาปาซิเตอร์

2.2.2 พิสูจน์การมีคุณสมบัติแบบ flatness ของแหล่งจ่ายแบบผสม

เพื่อยืนยันการมีคุณสมบัติแบบ flatness ดังได้อธิบายไปแล้วในหัวข้อ 1.6 จะถูกพิสูจน์ ดังต่อไปนี้ เพื่อรักษาระดับแรงดันไฟที่บัสไฟตรงและที่ซุปเปอร์คาปาซิเตอร์ บนพื้นฐานของ ทฤษฎีการควบคุมแบบ flatness ตัวแปรเอาต์พุต (y) ตัวแปรควบคุมอินพุต (u) และตัวแปรส เตท (x) ถูกกำหนดดังนี้

$$\mathbf{y} = \begin{bmatrix} y_1 \\ y_2 \end{bmatrix} = \begin{bmatrix} E_{\text{Bus}} \\ E_{\text{T}} \end{bmatrix} \tag{2-15}$$

$$\mathbf{u} = \begin{bmatrix} u_1 \\ u_2 \end{bmatrix} = \begin{bmatrix} p_{\text{SCREF}} \\ p_{\text{TREF}} \end{bmatrix} \tag{2-16}$$

$$\mathbf{x} = \begin{bmatrix} x_1 \\ x_2 \end{bmatrix} = \begin{bmatrix} v_{\text{Bus}} \\ v_{\text{SC}} \end{bmatrix} \tag{2-17}$$

ซึ่ง p_{TREF} คือกำลังไฟฟ้ารวมจากโซล่าเซลล์ กังหันลมและเซลล์เชื้อเพลิง ดังนั้นตัวแปรสเตท สามารถเขียนได้ดังนี้

$$\mathbf{x} = \begin{bmatrix} x_1 \\ x_2 \end{bmatrix} = \begin{bmatrix} \sqrt{\frac{2y_1}{C_{\text{Bus}}}} \\ \sqrt{\frac{2(y_2 - y_1)}{C_{\text{SC}}}} \end{bmatrix} = \begin{bmatrix} \varphi_1(y_1) \\ \varphi_2(y_1, y_2) \end{bmatrix}$$
(2-18)

ตัวแปรอินพุต (u) สามารถคำนวณได้จากตัวแปรเอาต์พุตตัว (y) และอนุพันธ์เทียบกับเวลา คือ

$$u_{1} = 2p_{\text{SCLim}} \cdot \left[1 - \sqrt{1 - \left(\frac{\dot{y}_{1} + \sqrt{\frac{2y_{1}}{C_{\text{Bus}}}} \cdot i_{\text{Load}} - p_{\text{FCo}} - p_{\text{PVo}} - p_{\text{WDo}}}{p_{\text{SCLim}}}\right)}\right]$$

$$= \psi_{1}(y_{1}, \dot{y}_{1}) = p_{\text{SCRFF}}$$

$$(2-19a)$$

$$u_1 = \dot{y}_1 + p_{\text{Load}} - p_{\text{FC}} - p_{\text{PV}} - p_{\text{WD}}|_{Loss=0}$$

= p_{SCREF} (2-19b)

$$u_{2} = 2p_{\text{TMax}} \cdot \left[1 - \sqrt{1 - \left(\frac{\dot{y}_{2} + \sqrt{\frac{2y_{1}}{C_{\text{Bus}}}} \cdot i_{\text{Load}}}{p_{\text{TMax}}} \right)} \right]$$

$$= \psi_{2}(y_{1}, \dot{y}_{2}) = p_{\text{TREF}}$$
(2-20a)

$$u_2 = \dot{y}_2 + p_{\text{Load}}|_{Loss=0}$$

$$= p_{\text{TREF}}$$
(2-20b)

ซึ่ง

$$p_{\text{SCLim}} = \frac{v_{\text{SC}}^2}{4r_{\text{SC}}}, \ p_{\text{TMax}} = \frac{v_{\text{T}}^2}{4r_{\text{T}}}$$
 (2-21)

ขณะที่ p_{SCLim} คือกำลังไฟฟ้าสูงสุดที่ถูกจำกัดจากตัวแปลงไฟของซุปเปอร์คาปาซิเตอร์ p_{TMax} คือ เทียบเคียงกำลังไฟฟ้าสูงสุดที่ถูกจำกัดจากตัวแปลงไฟของโซล่าเซลล์ กังหันลมและเซลล์เชื้อเพลิง v_{T} คือแรงดันไฟฟ้าเทียบเคียงจากแหล่งจ่ายไฟจากโซล่าเซลล์ กังหันลมและเซลล์เชื้อเพลิงและ r_{T} คือค่าตัวต้านทานเทียบเคียงในตัวแปลงไฟของโซล่าเซลล์ กังหันลมและเซลล์เชื้อเพลิง

อันที่จริงแล้ว

$$p_{\text{TMax}} = p_{\text{FCMax}} + p_{\text{PVMax}} + p_{\text{WDMax}}$$
 (2-22)

ซึ่ง p_{FCMax} คือกำลังไฟฟ้าสูงสุดจากเซลล์เชื้อเพลิง p_{PVMax} คือกำลังไฟฟ้าสูงสุดจากโซล่าเซลล์ และ p_{WDMax} คือกำลังไฟฟ้าสูงสุดจากกังหันลม

2.2.3 กฎการควบคุมและเสถียรภาพ (Control Law and Stability)

จากสมการที่ (1.15) กฎการควบคุมพลังงานแสดงได้ดังนี้ [23], [24]

$$v_1 = \dot{y}_1 = \dot{y}_{1REF} + K_{11}(y_{1REF} - y_1) + K_{12} \int_0^t (y_{1REF} - y_1) d\tau$$
 (2-23)

$$v_2 = \dot{y}_2 = \dot{y}_{2REF} + K_{21}(y_{2REF} - y_2)$$
 (2-24)

ซึ่ง y_{1REF} คือคำสั่งอ้างอิงของตัวแปรเอาต์พุตตัวที่ 1 (พลังงานที่คาปาซิเตอร์ที่บัสไฟตรง) และ y_{2REF} คือคำสั่งอ้างอิงของตัวแปรเอาต์พุตตัวที่ 2 (พลังงานรวามที่คาปาซิเตอร์ที่บัสไฟตรงกับที่ ซุปเปอร์คาปาซิเตอร์)

จากสมการที่ (2-23) ถ้ากำหนดให้ $e_1=y_1-y_{1{
m REF}}$, $K_{11}=2\zeta\omega_n$ และ $K_{12}=\omega_n^2$ จะได้

$$\ddot{e}_1 + 2\zeta \omega_n \cdot \dot{e}_1 + \omega_n^2 \cdot e_1 = 0 \tag{2-25}$$

แทน $\dot{y_1}$ ลงในสมการที่ (2-19) จะได้สมการในเทอมของการควบคุมแบบป้อนกลับ เรา อาจจะเรียกว่า "inverse dynamics"

$$u_{1} = 2p_{\text{SCLim}} \cdot \left[1 - \sqrt{1 - \left(\frac{equ.(2 - 23) + p_{\text{Load}} - p_{\text{FCo}} - p_{\text{PVo}} - p_{\text{WDo}}}{p_{\text{SCLim}}} \right)} \right]$$
(2-26a)

$$u_1 = equ.(2-23) + p_{\text{Load}} - p_{\text{FC}} - p_{\text{PV}} - p_{\text{WD}}|_{Loss=0}$$
 (2-26b)

เช่นเดียวกันจากสมการที่ (2-24) ถ้ากำหนดให้ $e_2 = y_2 - y_{2{
m REF}}$, $K_{21} = 1/ au_{
m S}$ จะได้

$$\tau_{S} \cdot \dot{e}_{1} + e_{1} = 0 \tag{2-27}$$

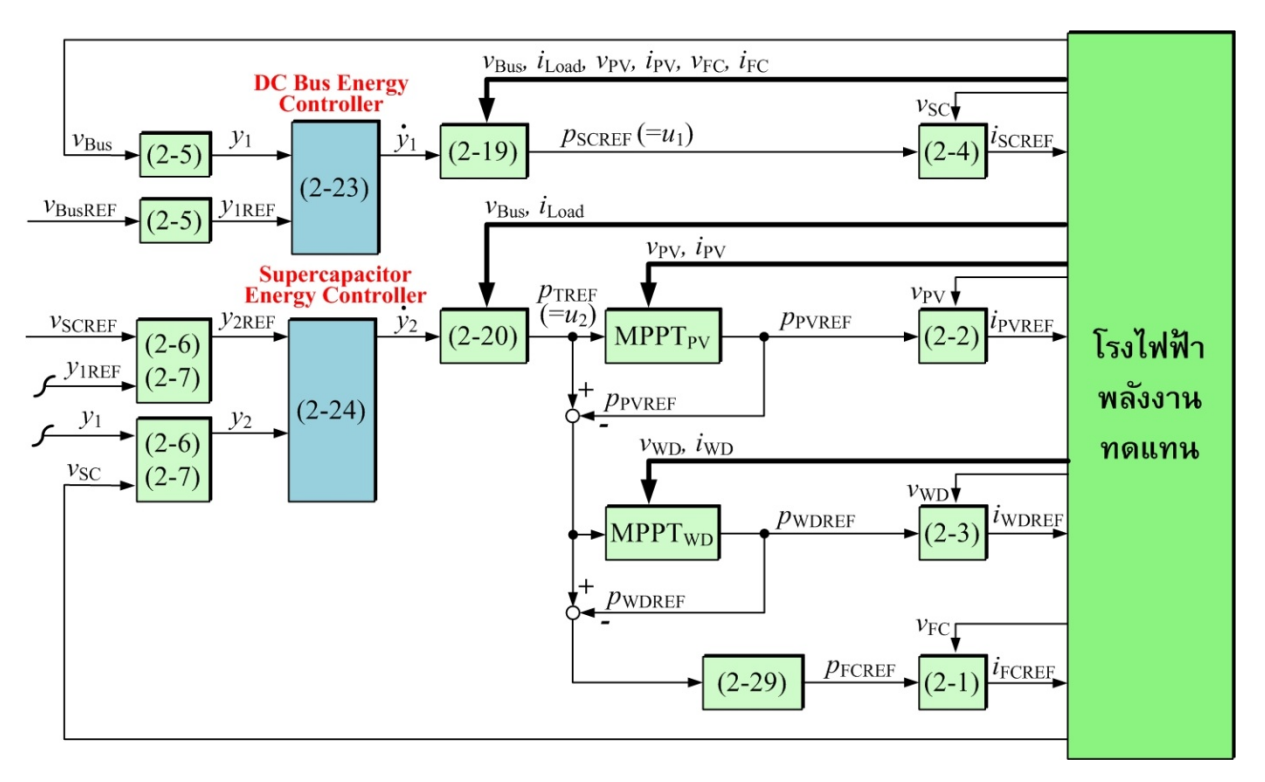
แทน \dot{y}_2 ลงในสมการที่ (2-20) จะได้สมการในเทอมของการควบคุมแบบป้อนกลับ ที่ เรียกว่า "inverse dynamics"

$$u_2 = 2p_{\text{TMax}} \cdot \left[1 - \sqrt{1 - \left(\frac{equ.(2 - 24) + p_{\text{Load}}}{p_{\text{TMax}}} \right)} \right]$$
 (2-28a)

$$u_2 = equ.(2-24) + p_{\text{Load}}|_{Loss=0}$$
 (2-28b)

จากสมการที่ (2-26) และ (2-28) เห็นได้ชัดว่าระบบควบคุมจะมีเสถียรภาพแน่นอนสำหรับ ค่า K_{11} , $K_{12} > 0$ และ $K_{21} > 0$ อย่างไรก็ตาม บนพื้นฐานของระบบควบคุมเป็นชั้นๆ (cascade control structure) และความถี่ของการสวิชต์อิเล็กทรอนิกส์กำลัง ($\omega_{\rm S}$) วงควบคุมชั้นนอก (ใน ที่นี้คือการควบคุมพลังงานที่บัสไฟตรง) จะต้องทำงานที่ cut-off frequency $\omega_{\rm E} << \omega_{\rm C}$ ซึ่ง $\omega_{\rm C}$ คือ cut-off frequency ของระบบควบคุมของวงควบคุมกำลังจากซุปเปอร์คาปาซิเตอร์ซึ่งเป็นวง ชั้นในนั้นเองและ $\omega_{\rm C} << \omega_{\rm S}$ เมื่อตัวแปรเอาต์พุตมีเสถียรภาพ ระบบควบคุมทั้งหมดก็จะมี เสถียรภาพไปด้วยเพราะตัวแปรทั้งหมดสามารถแสดงในเทอมของ differtial flatness

ภาพที่ 2-3 ได้อธิบายถึงแนวคิดระบบควบคุมที่ได้นำเสนอสำหรับแหล่งจ่ายไฟจากพลังงาน ทดแทนที่ได้อธิบายดังข้างบน กฎการควบคุมพลังงานที่บัสไฟตรงสร้างกำลังไฟฟ้าอ้างอิงสำหรับ ซุปเปอร์คาปาซิเตอร์ p_{SCREF} สัญญาณ p_{SCREF} นี้จะถูกหารด้วยแรงดันที่วัดมาจากซุปเปอร์คาปาซิเตอร์ V_{SC} และจะจำกัดแรงดันของซุปเปอร์คาปาซิเตอร์ให้อยู่ในช่วงต่ำสุดและสูงสุด V_{SCMin} , V_{SCMax}] โดยการจำกัดกระแสชาร์จหรือกระแสคายประจุ (ไม่ได้อธิบายในเอกสารนี้ สามารถหาอ่าน เพิ่มเติมได้จาก [25]) ผลลัพธ์ก็คือได้กระแสอ้างอิงสำหรับซุปเปอร์คาปาซิเตอร์ i_{SCREF}



ภาพที่ 2-3 ไดอะแกรมระบบควบคุมแหล่งจ่ายไฟแบบผสม

กฎการควบคุมพลังงานรวมหรือกฎการควบคุมพลังงานสำหรับซุปเปอร์คาปาซิเตอร์กำเนิด กำลังไฟฟ้าอ้างอิงรวม p_{TREF}

- อย่างแรก สัญญาณ p_{TREF} นี้จะถูกพิจารณาให้เป็นกำลังอ้างอิงสำหรับโซล่าเซลล์ p_{PVREF} สัญญาณนี้จะถูกจำกัดไม่ให้เกินกำลังไฟฟ้าสูงสุด p_{PVMax} ด้วยตัวติดตาม กำลังไฟฟ้า (maximum power point tracking MPPT_{PV}) แสดงดังรูปที่ 2-4 [26], [27], [28]
- อย่างที่สอง ความแตกต่างระหว่างกำลังไฟฟ้าอ้างอิงรวม p_{TREF} กับกำลังอ้างอิงสำหรับ โซล่าเซลล์ p_{PVREF} คือกำลังไฟฟ้าที่ต้องการสำหรับกังหันลม p_{WDDEM} สัญญาณนี้จะถูก จำกัดไม่ให้เกินกำลังไฟฟ้าสูงสุด p_{WDMax} ด้วยตัวติดตามกำลังไฟฟ้า (maximum power point tracking MPPT $_{\text{WD}}$) แสดงดังรูปที่ 2-5
- อย่างที่สาม ความแตกต่างระหว่าง p_{WDDEM} กับ p_{WDREF} คือกำลังไฟฟ้าอ้างอิงสำหรับ เซลล์เชื้อเพลิง p_{FCREF} ในที่นี้ตัวหน่วงลำดับที่ 2 ($D_{\text{FC}}(s)$) ถูกเลือกสำหรับการจำกัด ไดนามิกส์ของเซลล์เชื้อเพลิง (FC power dynamic limitation) [29], [30] แสดงได้ ดังนี้

$$D_{FC}(s) = \frac{1}{\left(\frac{s}{\omega_{n1}}\right)^2 + \frac{2\zeta_1}{\omega_{n1}}s + 1}$$
 (2-29)

ซึ่ง $oldsymbol{\omega}_{\scriptscriptstyle{\mathsf{n}1}}$ และ $\,\zeta_{\scriptscriptstyle{\mathsf{1}}}\,$ คือตัวแปรการควบคุม

```
BEGIN
   READ p_{PVDEM}(t)
   READ V_{PV}(t)
   READ i_{PV}(t)
   p_{PV}(t) = v_{PV}(t) \times i_{PV}(t);
   p_{PV}(t-\Delta t) = v_{PV}(t-\Delta t) \times i_{PV}(t-\Delta t);
   IF
         p_{PV}(t-\Delta t) \geq p_{PV}(t)
          IF i_{PV}(t-\Delta t) \geq i_{PV}(t)
                                                   THEN
              i_{PVMAX}(t) = i_{PV}(t) + \Delta I_{PV};
          ELSE
             i_{PVMAX}(t) = i_{PV}(t) - \Delta I_{PV};
          ENDIF
   ELSE
          IF i_{PV}(t-\Delta t) \geq i_{PV}(t) THEN
              i_{PVMAX}(t) = i_{PV}(t) - \Delta I_{PV};
          ELSE
              i_{PVMAX}(t) = i_{PV}(t) + \Delta I_{PV};
          ENDIF
   ENDIF
   p_{\text{PVMAX}}(t) = v_{\text{PV}}(t) \times i_{\text{PVMAX}}(t);
   p_{\text{PVREF}}(t) = \min[p_{\text{PVDEM}}(t), p_{\text{PVMAX}}(t)];
                  % Note: Minimum Function
   V_{PV}(t-\Delta t) = V_{PV}(t);
   i_{PV}(t-\Delta t) = i_{PV}(t);
END
```

ภาพที่ 2-4 ฟังก์ชันคำนวณหากำลังไฟฟ้าสูงสุดของโซล่าเซลล์ MPPT $_{PV}$ ซึ่ง ΔI_{PV} คือความ ละเอียดของกระแสที่กำหนด และ Δt คือเวลาซุ่มสำหรับการคำนวณ

```
BEGIN
   READ
              p_{\mathtt{WDDEM}}(t)
   READ
             v_{WD}(t)
   READ
             i_{WD}(t)
   p_{WD}(t) = v_{WD}(t) \times i_{WD}(t);
   p_{WD}(t-\Delta t) = v_{WD}(t-\Delta t) \times i_{WD}(t-\Delta t);
    IF
           p_{WD}(t-\Delta t) \geq p_{WD}(t)
                                                   THEN
           IF i_{WD}(t-\Delta t) \geq i_{WD}(t)
               i_{\text{WDMAX}}(t) = i_{\text{WD}}(t) + \Delta I_{\text{WD}};
           ELSE
               i_{\text{WDMAX}}(t) = i_{\text{WD}}(t) - \Delta I_{\text{WD}};
           ENDIF
   ELSE
           IF i_{WD}(t-\Delta t) \geq i_{WD}(t) THEN
               i_{\text{WDMAX}}(t) = i_{\text{WD}}(t) - \Delta I_{\text{WD}};
           ELSE
               i_{\text{WDMAX}}(t) = i_{\text{WD}}(t) + \Delta I_{\text{WD}};
           ENDIF
   ENDIF
   p_{\text{WDMAX}}(t) = v_{\text{WD}}(t) \times i_{\text{WDMAX}}(t);
   p_{\text{WDREF}}(t) = \min[p_{\text{WDDEM}}(t), p_{\text{WDMAX}}(t)];
                     % Note: Minimum Function
    V_{WD}(t-\Delta t) = V_{WD}(t);
    i_{WD}(t-\Delta t)=i_{WD}(t);
END
```

ภาพที่ 2-5 ฟังก์ชันคำนวณหากำลังไฟฟ้าสูงสุดของกังหันลม MPPT_{WD} ซึ่ง ΔI_{WD} คือความ ละเอียดของกระแสที่กำหนด และ Δt คือเวลาซุ่มสำหรับการคำนวณ

วิธีการทดลอง ผลการทดลองและวิจารณ์ผลการทดลอง

จากขั้นตอนการออกแบบและดำเนินงานตามที่ได้กล่าวไปแล้วในบทที่ 2 เมื่อนำวงจรต่าง ๆ มาประกอบรวมกันเป็นชิ้นงานที่สมบูรณ์เรียบร้อยแล้ว ในบทนี้จะกล่าวถึงผลการดำเนินงานของ วงจรที่ได้ออกแบบไว้และผลการทดสอบการทำงานของวงจรต่างๆ ดังนี้

3.1 รายละเอียดชุดทดลอง

ชุดทดลองระบบจ่ายไฟแบบผสมต้นแบบขนาดเล็กแสดงดังภาพที่ 3-1 ระบบเซลล์เชื้อเพลิง (Ballard Nexa fuel cell system) ระบบกังหันลม แผงโซล่าเซลล์ (ติดตั้งบนดาดฟ้าสถาบัน นวัตกรรมเทคโนโลยี ไทย-ฝรั่งเศส) และโมดูลซุปเปอร์คาปาซิเตอร์แสดงดังภาพที่ 3-1 ถึงภาพที่ 3-3 ตามลำดับ รายละเอียดแหล่งจ่ายแต่ละตัวแสดงในตารางที่ 3-1 ขณะที่ภาพถ่ายของตัวแปลงไฟ แต่ละตัวที่ออกแบบและสร้างประกอบเป็นโรงไฟฟ้าต้นแบบแสดงดังภาพที่ 3-4 ถึงภาพที่ 3-8



ภาพที่ 3-1 ชุดทดลองโรงไฟฟ้าต้นแบบขนาดเล็กจ่ายไฟโดยพลังงานแสงอาทิตย์ พลังงานไฮโดรเยน พลังงานลมและแบตเตอร์รี่ชนิดซุปเปอร์คาปาซิเตอร์



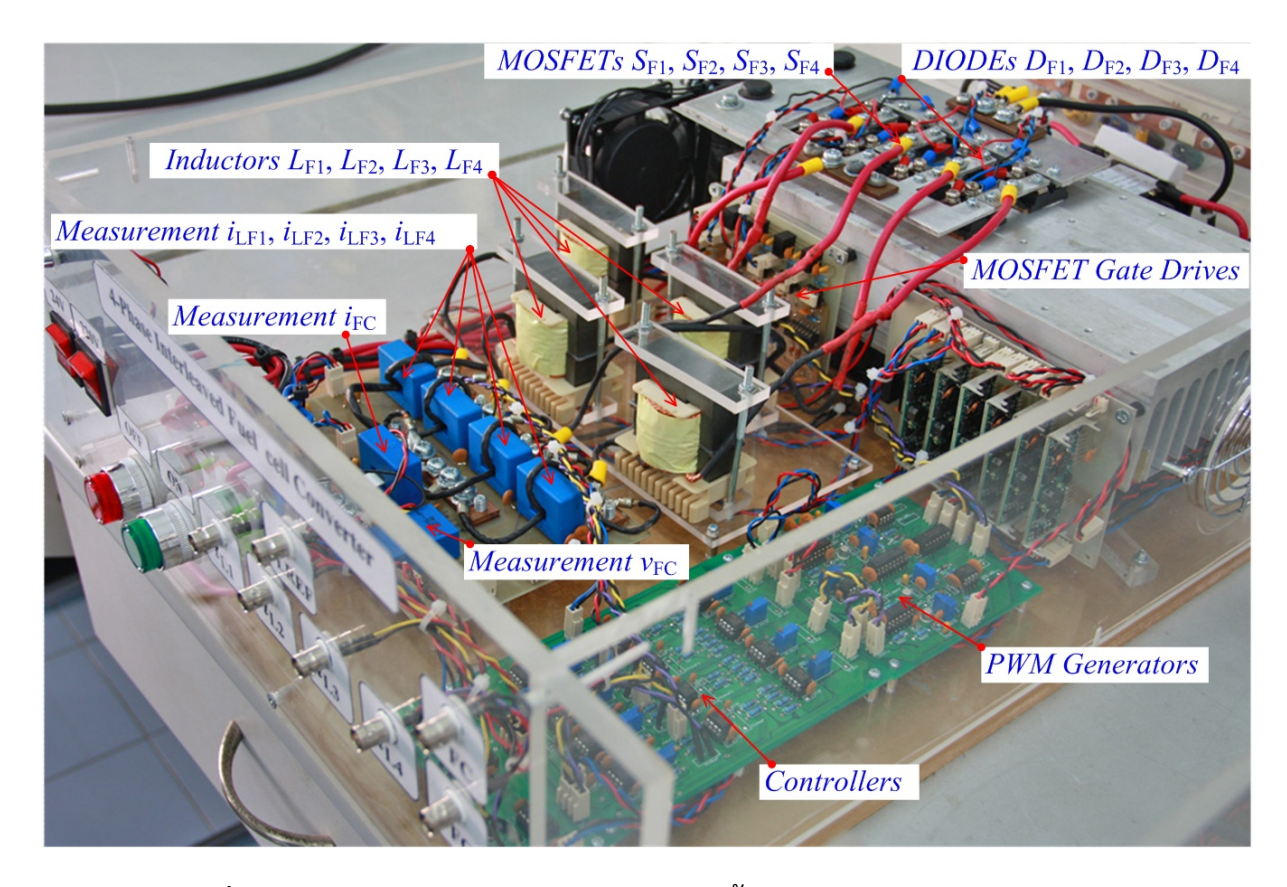
ภาพที่ 3-2 แผงโซล่าเซลล์ (ติดตั้งบนดาดฟ้าสถาบันนวัตกรรมเทคโนโลยี ไทย-ฝรั่งเศส)



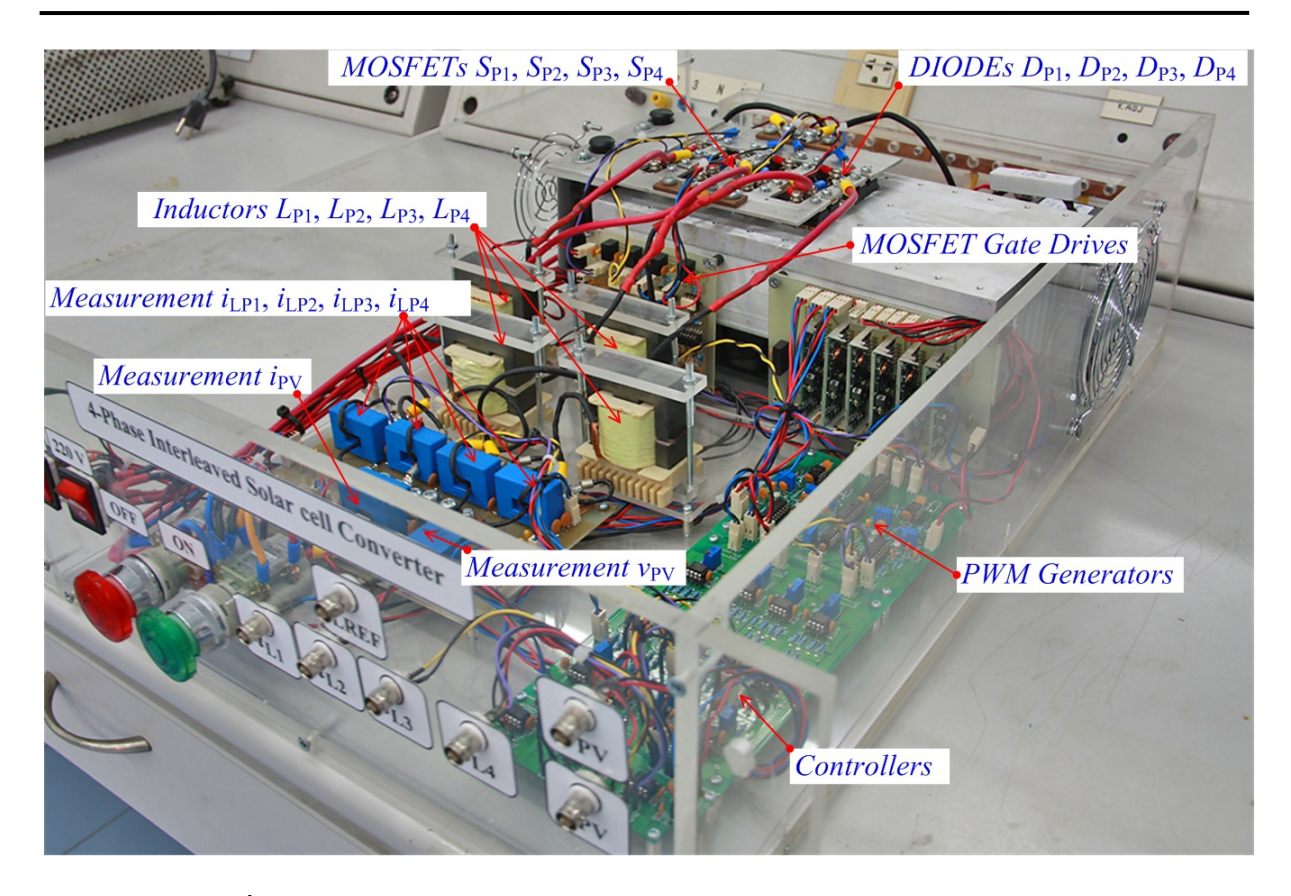
ภาพที่ 3-3 โมดูลซุปเปอร์คาปาซิเตอร์

ตารางที่ 3-1 รายละเอียดแหล่งจ่ายไฟแต่ละตัว

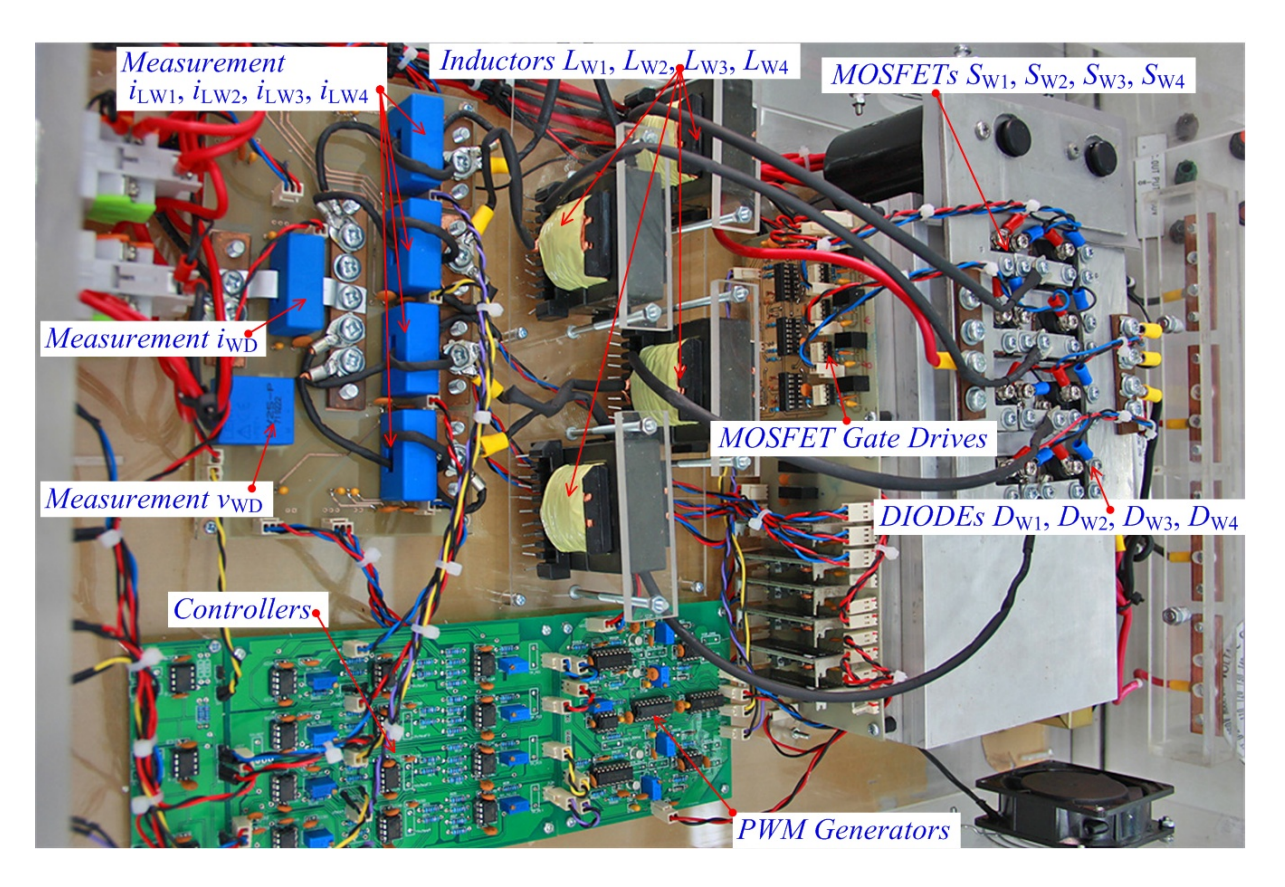
Fuel Cell System (by Ballard Power Systems Inc):		
Rated Power	1,200	W
Rated Current	46	A
Rated Voltage	26	V
Photovoltaic Array (by Ekarat Solar Company):		
Number of Panels in Parallel	4	
Panel Open Circuit Voltage	33.5	V
Panel Rated Voltage	26	V
Panel Rated Current	7.7	A
Panel Rated Power	200	W
Array Rated Power	800	W
Wind Turbine:		
Permanent Magnet	1,000	W
Synchronous Generator (PMSG)		
Speed	1,500	rpm
Supercapacitor Bank (by Maxwell Technologies Comp):		
(Cell Model: BCAP1200)		
Number of Cells in Series	12	
Cell Capacity	1,200	F
Cell Maximum Voltage	2.7	V
Bank Capacity (C_{SC})	100	F
Bank Maximum Voltage	32	V



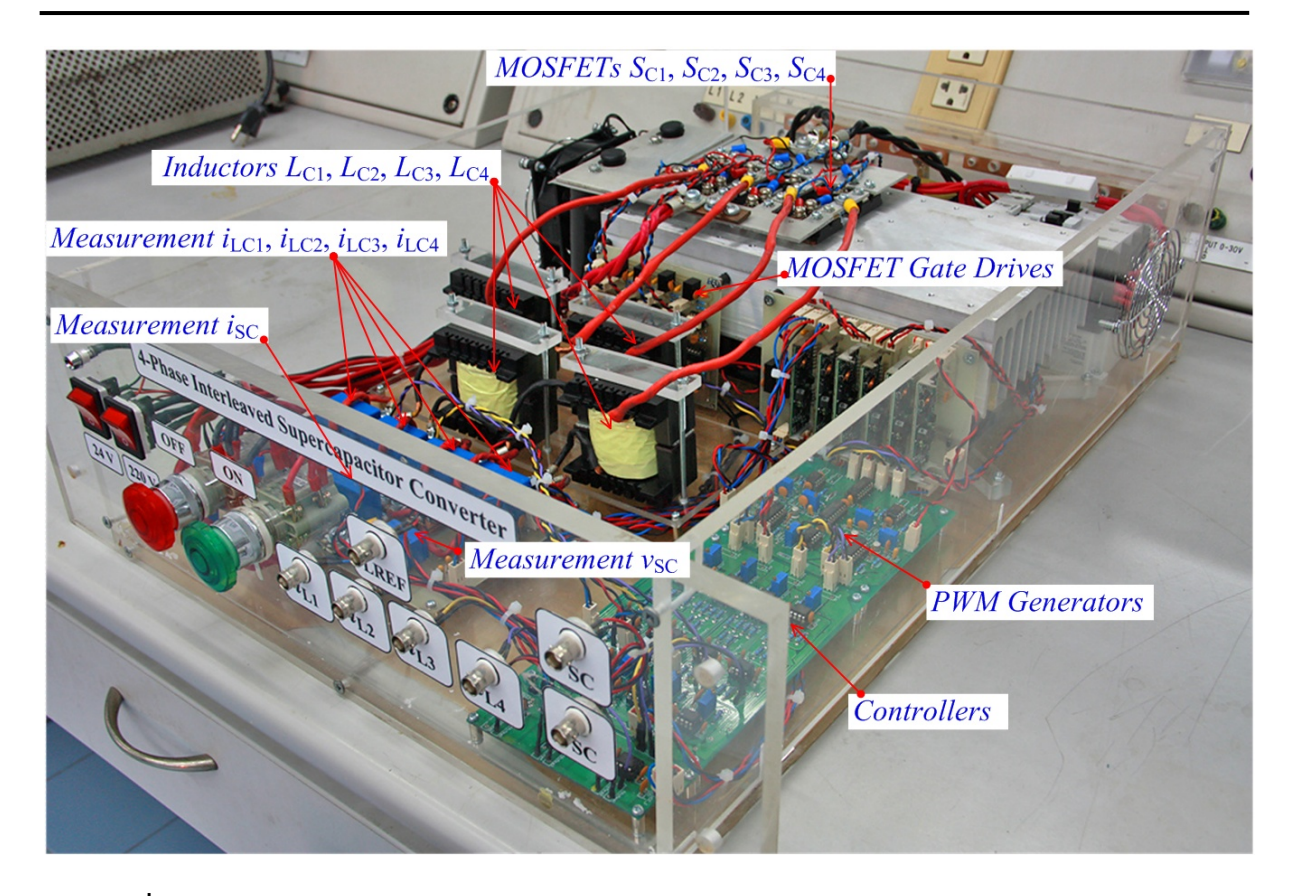
ภาพที่ 3-4 ภาพถ่ายตัวแปลงไฟสำหรับเซลล์เชื้อเพลิง (Fuel Cell Converter)



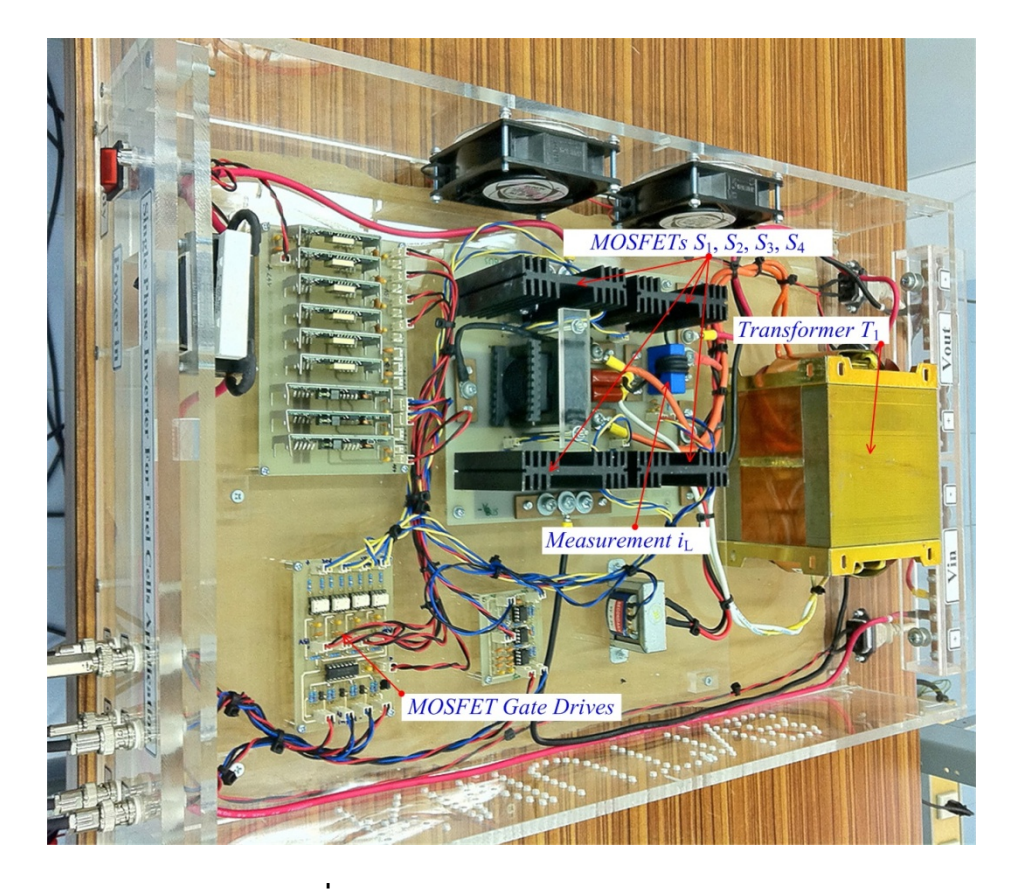
ภาพที่ 3-5 ภาพถ่ายตัวแปลงไฟสำหรับโซล่าเซลล์ (Solar Cell Converter)



ภาพที่ 3-6 ภาพถ่ายตัวแปลงไฟสำหรับกังหันลม (Wind Turbine Converter)



ภาพที่ 3-7 ภาพถ่ายตัวแปลงไฟสำหรับซุปเปอร์คาปาซิเตอร์ (Supercapacitor Converter)



ภาพที่ 3-8 ภาพถ่ายอินเวอร์เตอร์ 1 เฟส

3.2 ผลการทดลองตัวแปลงไฟ

เมื่อตัวแปลงไฟแต่ละตัวถูกสร้างเสร็จเรียบร้อย จะมีการทดสอบอิสระจากกัน ถ้าผลการ ทดลองได้ตามต้องการ จะนำตัวแปลงไฟแต่ละตัวต่อรวมกันเป็นโรงไฟฟ้าต้นแบบ

3.2.1 ตัวแปลงไฟสำหรับเซลล์เชื้อเพลิง

เพื่อแสดงถึงลักษณะสมบัติของตัวแปลงไฟสำหรับเซลล์เชื้อเพลิงที่สภาวะอยู่ตัว ภาพที่ 3-9 ถึงภาพที่ 3-11 แสดงสัญญาณขณะที่ตัวแปลงไฟดึงกระแสจากเซลล์เชื้อเพลิงเท่ากับ 8 A, 20 A และ 44 A ตามลำดับ

หมายเหตุ ตัวแปลงไฟต่อกับเซลล์เชื้อเพลิงจริง ซึ่งเป็นเซลล์เชื้อเพลิงขนาด 1,200 W, 26 V ดัง ภาพที่ 3-1

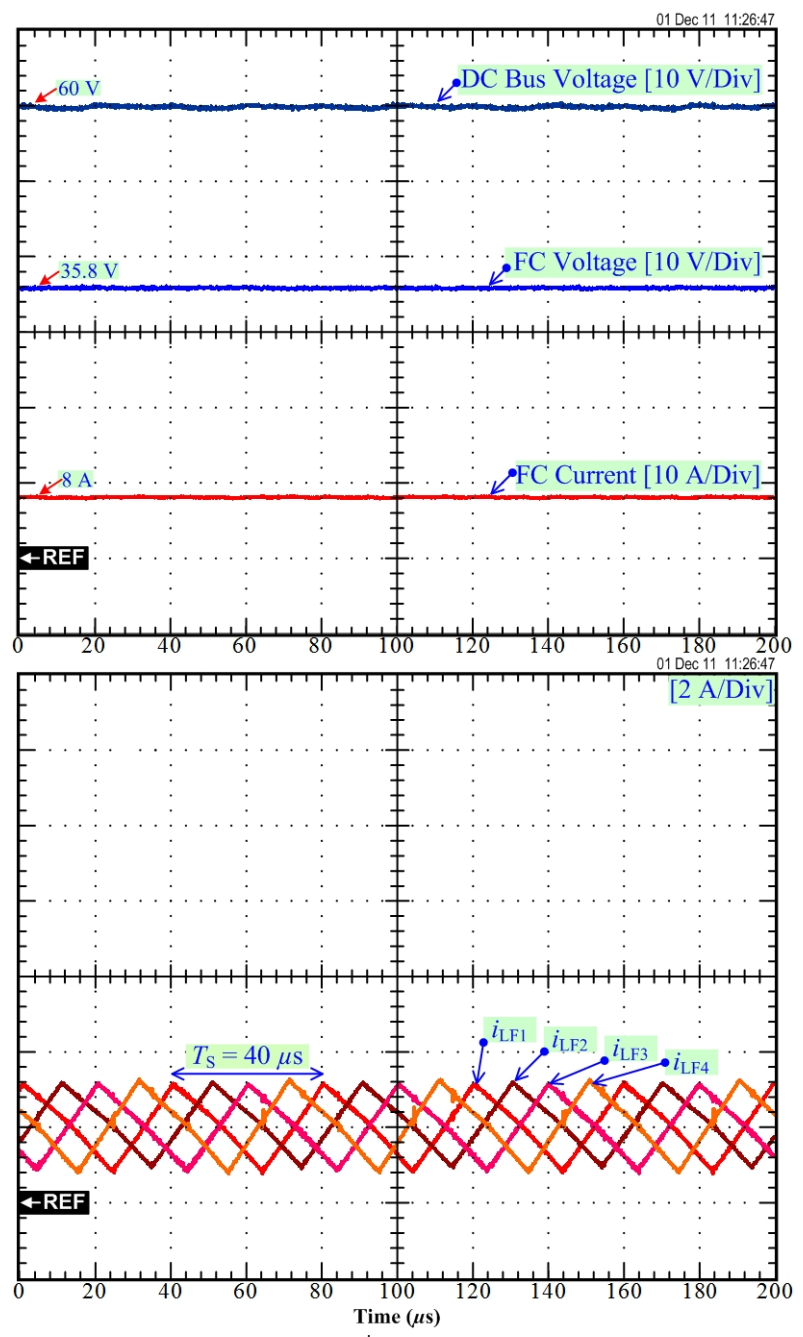
โดยที่จอออสซิลโลสโคปแสดงสัญญาณ

- แรงดันที่บัสไฟตรง (DC Bus Voltage)
- แรงดันของเซลล์เชื้อเพลิง (FC Voltage)
- กระแสของเซลล์เชื้อเพลิง (FC Current) และ
- กระแสของตัวเหนี่ยวนำทั้งสี่เฟสคือ $i_{\text{LF1}}, i_{\text{LF2}}, i_{\text{LF3}}, i_{\text{LF4}}$ (อ้างถึงภาพที่ 2-1)

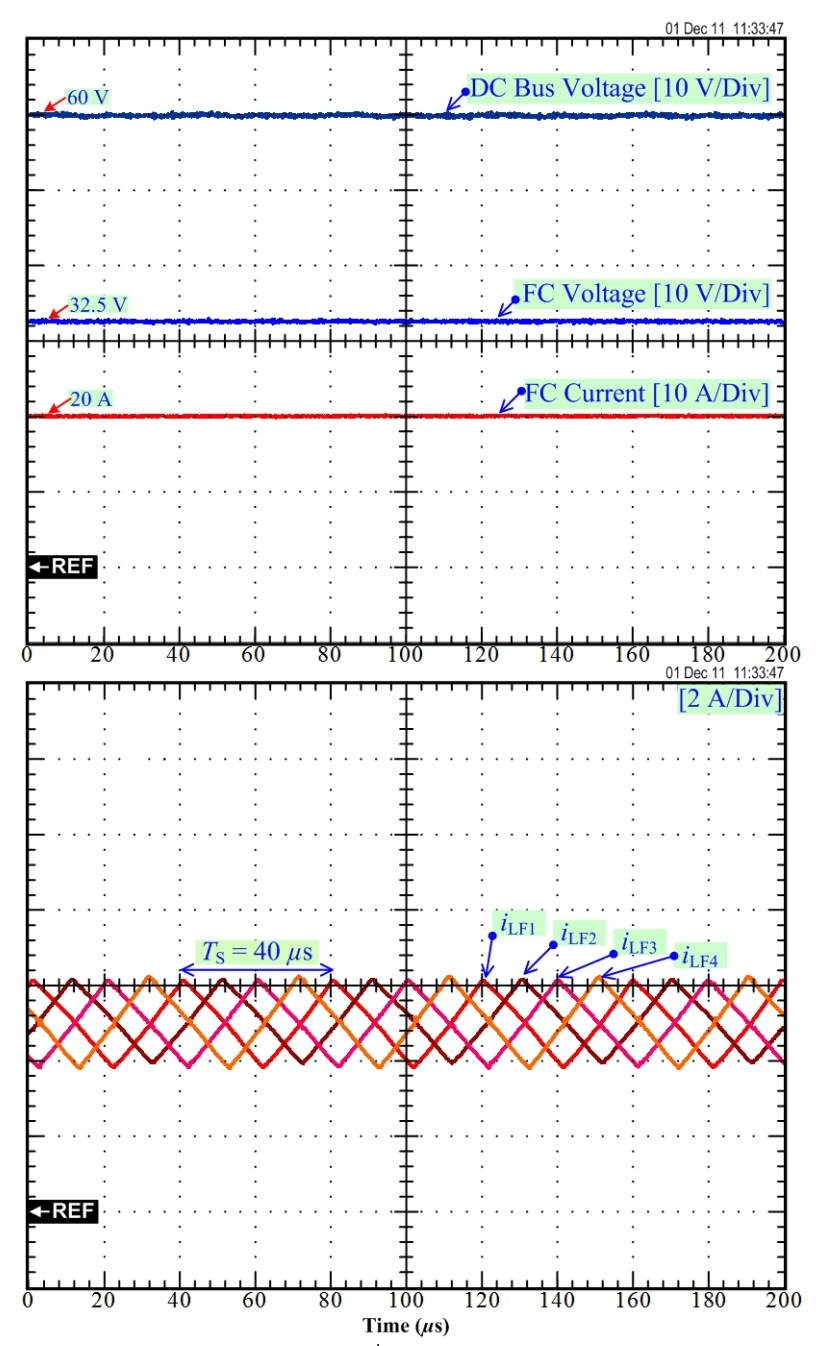
จากภาพทั้ง 3 ภาพ จะเห็นได้ว่ากระแสของตัวเหนี่ยวนำทั้งสี่เฟสคือ i_{LF1} , i_{LF2} , i_{LF3} , i_{LF4} มีมุมห่าง กัน 90 องศา (สวิตช์แบบเหลื่อมเฟส 4 เฟส) ด้วยความถี่สวิตช์ (Switching Frequency) ที่ 25 kHz

หมายเหตุ การทดลองตัวแปลงไฟจะอยู่บนเงื่อนไขที่โหลดจะปรับให้ได้แรงดันที่บัสไฟตรงเท่ากับ 60 V ซึ่งเท่ากับแรงดันพิกัดของระบบ

จะสังเกตุเห็นได้ว่ากระแสในแต่ละเฟสมีการกระเพื่อม (ripple current) ซึ่งเป็นธรรมชาติของวงจร แต่กระแสของเซลล์เชื้อเพลิงคือผลรวมของกระแสทั้งสี่เฟส ซึ่งกระแสกระเพื่อมของเซลล์เชื้อเพลิง มีค่าเป็นศูนย์เพราะการหักล้างกันของการเหลื่อมเฟสซึ่งเป็นไปตามคุณสมบัติของเทคนิคการ เหลื่อมเฟส



ภาพที่ 3-9 ผลการทดลองจริง สัญญาณที่สภาวะอยู่ตัวของตัวแปลงไฟสำหรับเซลล์เชื้อเพลิงที่ กระแสอ้างอิงเท่ากับ 8 A ขณะที่แรงดันของเซลล์เชื้อเพลิงเท่ากับ 35.8 V และแรงดันที่บัสไฟตรง เท่ากับ 60 V



ภาพที่ 3-10 ผลการทดลองจริง สัญญาณที่สภาวะอยู่ตัวของตัวแปลงไฟสำหรับเซลล์เชื้อเพลิงที่ กระแสอ้างอิงเท่ากับ 20 A ขณะที่แรงดันของเซลล์เชื้อเพลิงเท่ากับ 32.5 V และแรงดันที่บัสไฟตรง เท่ากับ 60 V